

**UNIVERSIDADE DE SÃO PAULO
INSTITUTO DE FÍSICA DE SÃO CARLOS**

Giuseppe Braz da Silva Marcelino

Conceitos de auto-dualidade em sólitons topológicos

São Carlos

2023

Giuseppe Braz da Silva Marcelino

Conceitos de auto-dualidade em sólitons topológicos

Trabalho de Conclusão de Curso - Monografia apresentado ao Curso de graduação em Física na habilitação Teórico-Experimental no Instituto de Física de São Carlos da Universidade de São Paulo como requisito para a obtenção do título de Bacharel em Física.

Orientador: Prof. Dr. Luiz Agostinho Ferreira

**São Carlos
2023**

AUTORIZO A REPRODUÇÃO E DIVULGAÇÃO TOTAL OU PARCIAL DESTE TRABALHO, POR QUALQUER MEIO CONVENCIONAL OU ELETRÔNICO PARA FINS DE ESTUDO E PESQUISA, DESDE QUE CITADA A FONTE.

Marcelino, Giuseppe Braz da Silva

Conceitos de auto-dualidade em sólitos topológicos / Giuseppe Braz da Silva Marcelino ; Orientador Luiz Agostinho Ferreira. – São Carlos, 2023.

26 p.

Trabalho de Conclusão de Curso (Bacharel em Física) – Instituto de Física de São Carlos, Universidade de São Paulo, 2023. – IFSC, Universidade de São Paulo, 2023.

1. Introdução. 2. Auto-dualidade Generalizada. 3. *Kinks* com vários campos em (1+1) dimensões. 4. *Lumps* em (2+1) dimensões. 5. (3+1) dimensões e instantons em (4+0). 6. Conclusão. I. Ferreira, Luiz Agostinho orient.. II. Título.

RESUMO

A auto-dualidade desempenha um importante papel em muitas aplicações em teorias de campos que possuem sólitons topológicos. Em geral, as equações de auto-dualidade são equações diferenciais parciais de primeira ordem tais que suas soluções satisfazem as equações de Euler-Lagrange de segunda ordem da teoria. O fato de que é necessário realizar uma integração a menos para construir sólitons auto-duais, comparado com os sólitons topológicos usuais, não é ligado ao uso de alguma quantidade dinamicamente conservada. É importante que a carga topológica seja representável em forma integral, e assim exista uma densidade de carga topológica. A invariância homotópica da carga topológica leva a identidades locais, na forma de equações diferenciais de segunda ordem. A relevância disso é devido a essas identidades se tornarem as equações de Euler-Lagrange da teoria quando as equações de auto-dualidade são impostas. Serão revisadas algumas importantes estruturas fundamentais do conceito de auto-dualidade, e mostrado como pode ser aplicado a *kinks*, *lumps*, monopólos, *Skyrmions* e *Instantons*.

Palavras-chave: Sólitos topológicos. Auto-dualidade. Carga topológica.

SUMÁRIO

1	INTRODUÇÃO	7
2	AUTODUALIDADE GENERALIZADA	9
3	KINKS COM VÁRIOS CAMPOS EM (1+1) DIMENSÕES	11
3.1	Interpretação mecânica de soluções auto-duais.	12
3.2	Exemplo – $SU(3)$	13
4	LUMPS EM (2 + 1) DIMENSÕES	17
5	(3 + 1) DIMENSÕES E INSTANTONS EM (4 + 0) DIMENSÕES	19
5.1	Monopolos	19
5.2	Skymions	19
5.3	Um modelo mais geral do <i>Skyrme</i> auto-dual	20
5.4	Instantons	21
6	CONCLUSÃO	23
	REFERÊNCIAS	25

1 INTRODUÇÃO

Sólitos topológicos desempenham papel fundamental no estudo de fenômenos não lineares em diversas áreas da física, eles aparecem em uma variedade de teorias, como *kinks* em $(1+1)$ dimensões, vórtices em $(2+1)$ dimensões, monopólos magnéticos e *Skyrmions* em $(3+1)$ dimensões e *Instantons* em quatro dimensões euclidianas. Os sólitos topológicos são relevantes para muitos fenômenos não lineares na física de altas energias, matéria condensada e na ciência em geral.

Dentre os sólitos topológicos existe uma classe especial, os chamados sólitos auto-duais. Eles são soluções clássicas das equações de auto-dualidade, que são equações de primeira ordem que implicam nas equações de Euler-Lagrange da teoria. Além disso, em cada setor topológico, isto é, o conjunto das soluções que possuem a mesma carga topológica associada, existe um limite inferior da energia estática, ou ação Euclidiana, e os sólitos auto-duais saturam esse limite. Portanto, os sólitos auto-duais são muito estáveis.

A razão pela qual se realiza apenas uma integração para construir os sólitos auto-duais, ao invés de duas para o caso de sólitos topológicos usuais, não está ligada a conservação de uma quantidade dinamicamente. Em todos os casos que a auto-dualidade funciona, a carga topológica relevante admite uma representação integral, ou seja, existe uma densidade de carga topológica. A invariância da carga sobre qualquer variação suave (homotópica) dos campos leva a identidades, em forma de equações diferenciais de segunda ordem, que são satisfeitas por qualquer configuração regular dos campos, não necessariamente solução da teoria. Entretanto, com a imposição das equações de auto-dualidade essas identidades se tornam as equações de Euler-Lagrange da teoria.

Utilizando o conceito de auto-dualidade generalizada se pode criar, com uma carga topológica, uma grande classe de teorias de campo contendo setores auto-duais (1). Em $(1+1)$ dimensões foi possível criar teorias de campo, com qualquer número de campos escalares, contendo sólitos topológicos, generalizando o processo conhecido para teorias com somente um campo escalar, como o modelo de *sine-Gordon* e $\lambda\phi^4$ (2).

Nesse trabalho, serão revisados os recentes desenvolvimentos e aplicações do conceito de auto-dualidade generalizada proposto em (1), de uma forma simples e concisa.¹

¹ Será utilizada a convenção de soma em índices repetidos durante todo trabalho.

2 AUTODUALIDADE GENERALIZADA

Considere uma teoria de campos que possui uma carga topológica que admite representação integral da forma

$$\mathcal{Q} = \frac{1}{2} \int d^d x \left[\mathcal{A}_\alpha \tilde{\mathcal{A}}_\alpha^* + \mathcal{A}_\alpha^* \tilde{\mathcal{A}}_\alpha \right], \quad (2.1)$$

onde \mathcal{A}_α e $\tilde{\mathcal{A}}_\alpha$ são funcionais somente dos campos da teoria e das suas primeiras derivadas, onde $*$ se refere somente a conjugado e não transposto conjugado, α se refere a qualquer grupo de índices. O fato de \mathcal{Q} ser topológico significa que ele é invariante por qualquer variação homotópica¹ dos campos. Os campos serão representados por χ_κ ; eles podem ser escalares, vetoriais ou campos espinores, e o índice κ segue a mesma lógica do índice α anterior. Os campos χ_κ serão considerados reais, ou seja, caso existam campos complexos χ_κ assume a parte real e imaginária desses campos.

A invariância de \mathcal{Q} sobre variações suaves dos campos leva à identidade

$$\begin{aligned} \delta \mathcal{Q} = 0 \rightarrow & \frac{\delta \mathcal{A}_\alpha}{\delta \chi_\kappa} \tilde{\mathcal{A}}_\alpha^* - \partial_\mu \left(\frac{\delta \mathcal{A}_\alpha}{\delta \partial_\mu \chi_\kappa} \tilde{\mathcal{A}}_\alpha^* \right) + \mathcal{A}_\alpha \frac{\delta \tilde{\mathcal{A}}_\alpha^*}{\delta \chi_\kappa} - \partial_\mu \left(\mathcal{A}_\alpha \frac{\delta \tilde{\mathcal{A}}_\alpha^*}{\delta \partial_\mu \chi_\kappa} \right) + \\ & \frac{\delta \mathcal{A}_\alpha^*}{\delta \chi_\kappa} \tilde{\mathcal{A}}_\alpha - \partial_\mu \left(\frac{\delta \mathcal{A}_\alpha^*}{\delta \partial_\mu \chi_\kappa} \tilde{\mathcal{A}}_\alpha \right) + \mathcal{A}_\alpha^* \frac{\delta \tilde{\mathcal{A}}_\alpha}{\delta \chi_\kappa} - \partial_\mu \left(\mathcal{A}_\alpha^* \frac{\delta \tilde{\mathcal{A}}_\alpha}{\delta \partial_\mu \chi_\kappa} \right) = 0. \end{aligned} \quad (2.2)$$

Impondo as equações, de primeira ordem, de auto-dualidade nos campos

$$\mathcal{A}_\alpha = \pm \tilde{\mathcal{A}}_\alpha, \quad (2.3)$$

junto com a identidade (2.2), temos as equações

$$\begin{aligned} & \frac{\delta \mathcal{A}_\alpha}{\delta \chi_\kappa} \mathcal{A}_\alpha^* - \partial_\mu \left(\frac{\delta \mathcal{A}_\alpha}{\delta \partial_\mu \chi_\kappa} \mathcal{A}_\alpha^* \right) + \mathcal{A}_\alpha \frac{\delta \mathcal{A}_\alpha^*}{\delta \chi_\kappa} - \partial_\mu \left(\mathcal{A}_\alpha \frac{\delta \mathcal{A}_\alpha^*}{\delta \partial_\mu \chi_\kappa} \right) + \\ & \frac{\delta \tilde{\mathcal{A}}_\alpha^*}{\delta \chi_\kappa} \tilde{\mathcal{A}}_\alpha - \partial_\mu \left(\frac{\delta \tilde{\mathcal{A}}_\alpha^*}{\delta \partial_\mu \chi_\kappa} \tilde{\mathcal{A}}_\alpha \right) + \tilde{\mathcal{A}}_\alpha^* \frac{\delta \tilde{\mathcal{A}}_\alpha}{\delta \chi_\kappa} - \partial_\mu \left(\tilde{\mathcal{A}}_\alpha^* \frac{\delta \tilde{\mathcal{A}}_\alpha}{\delta \partial_\mu \chi_\kappa} \right) = 0. \end{aligned} \quad (2.4)$$

Note que (2.4) são as equações de Euler-Lagrange associadas ao funcional

$$E = \frac{1}{2} \int d^d x \left[\mathcal{A}_\alpha \mathcal{A}_\alpha^* + \tilde{\mathcal{A}}_\alpha \tilde{\mathcal{A}}_\alpha^* \right]. \quad (2.5)$$

Portanto, equações diferenciais de primeira ordem, em conjunto com identidades topológicas de segunda ordem, implicam as equações de Euler-Lagrange de segunda ordem. Além disso, se E for positivo definido, então as soluções auto-duais saturam um limite

¹ Ou suave.

inferior na energia da seguinte forma. De (2.3): $\mathcal{A}_\alpha^2 = \tilde{\mathcal{A}}_\alpha^2 = \pm \mathcal{A}_\alpha \tilde{\mathcal{A}}_\alpha$, (2.3) também implica $\mathcal{A}_\alpha \tilde{\mathcal{A}}_\alpha^* = \mathcal{A}_\alpha^* \tilde{\mathcal{A}}_\alpha$. Dessa forma, se $\mathcal{A}_\alpha \mathcal{A}_\alpha^* \geq 0$, e consequentemente $\tilde{\mathcal{A}}_\alpha \tilde{\mathcal{A}}_\alpha^* \geq 0$:

$$\begin{aligned} \mathcal{A}_\alpha = \tilde{\mathcal{A}}_\alpha &\rightarrow \mathcal{Q} = \int d^d x \mathcal{A}_\alpha \mathcal{A}_\alpha^* \\ \mathcal{A}_\alpha = -\tilde{\mathcal{A}}_\alpha &\rightarrow \mathcal{Q} = -\int d^d x \mathcal{A}_\alpha \mathcal{A}_\alpha^*. \end{aligned} \quad (2.6)$$

Dessa forma, é possível reescrever o funcional de energia (2.5) como

$$E = \frac{1}{2} \int d^d x [\mathcal{A}_\alpha \mp \tilde{\mathcal{A}}_\alpha] [\mathcal{A}_\alpha^* \mp \tilde{\mathcal{A}}_\alpha^*] \pm \frac{1}{2} \int d^d x [\mathcal{A}_\alpha \tilde{\mathcal{A}}_\alpha^* + \mathcal{A}_\alpha^* \tilde{\mathcal{A}}_\alpha] \geq |\mathcal{Q}|, \quad (2.7)$$

onde, para soluções auto-duais, vale a igualdade da relação

$$E = \int d^d x \mathcal{A}_\alpha \mathcal{A}_\alpha^* = \int d^d x \tilde{\mathcal{A}}_\alpha \tilde{\mathcal{A}}_\alpha^* = |\mathcal{Q}|. \quad (2.8)$$

A forma de separar o integrando de \mathcal{Q} em (2.1) é bastante arbitrária, mas feita essa escolha ainda é possível realizar uma transformação simples da seguinte forma:

$$\mathcal{A}_\alpha \rightarrow \mathcal{A}'_\alpha = \mathcal{A}_\beta k_{\beta\alpha}; \quad \tilde{\mathcal{A}}_\alpha^* \rightarrow (\tilde{\mathcal{A}}'_\alpha)^* = k_{\alpha\beta}^{-1} \tilde{\mathcal{A}}_\beta^*. \quad (2.9)$$

Essa transformação não muda a forma da carga topológica, portanto \mathcal{Q} continua invariante por transformações homotópicas dos campos. Logo, o mesmo desenvolvimento anterior para os funcionais \mathcal{A}_α e $\tilde{\mathcal{A}}_\alpha$ pode ser repetido para os funcionais transformados \mathcal{A}'_α e $\tilde{\mathcal{A}}'_\alpha$. Assim, as novas equações de auto-dualidade são

$$\mathcal{A}_\beta k_{\beta\alpha} = \pm (k_{\alpha\beta}^{-1})^* \tilde{\mathcal{A}}_\beta \rightarrow \mathcal{A}_\beta h_{\beta\alpha} = \pm \tilde{\mathcal{A}}_\alpha, \quad (2.10)$$

em que foi definida a matriz inversível e hermitiana:

$$h \equiv k k^\dagger. \quad (2.11)$$

Junto com as identidades transformadas (2.2), as novas equações de auto-dualidade (2.10) implicam as equações de Euler-Lagrange do funcional

$$E' = \frac{1}{2} \int d^d x [\mathcal{A}_\alpha h_{\alpha\beta} \mathcal{A}_\beta^* + \tilde{\mathcal{A}}_\alpha h_{\alpha\beta}^{-1} \tilde{\mathcal{A}}_\beta^*]. \quad (2.12)$$

Note que a matriz h pode introduzir novos campos na teoria sem mudar a carga topológica.

Além disso, de (2.10): $\mathcal{A}_\alpha h_{\alpha\beta} \mathcal{A}_\beta^* = \tilde{\mathcal{A}}_\alpha h_{\alpha\beta}^{-1} \tilde{\mathcal{A}}_\beta^* = \pm \mathcal{A}_\alpha \tilde{\mathcal{A}}_\alpha^* = \pm \mathcal{A}_\alpha^* \tilde{\mathcal{A}}_\alpha$. Portanto, se $\mathcal{A}_\beta h_{\beta\alpha} \mathcal{A}_\alpha^* \geq 0$, e consequentemente $\tilde{\mathcal{A}}_\beta h_{\beta\alpha}^{-1} \tilde{\mathcal{A}}_\alpha^* \geq 0$, o limite inferior na energia (E' nesse caso) segue da mesma forma que anteriormente

$$\begin{aligned} E' &= \frac{1}{2} \int d^d x [\mathcal{A}_\beta k_{\beta\alpha} \mp (k_{\alpha\beta}^{-1})^* \tilde{\mathcal{A}}_\beta] [\mathcal{A}_\gamma^* k_{\gamma\alpha}^* \mp k_{\alpha\gamma}^{-1} \mathcal{A}_\gamma^*] \\ &\pm \frac{1}{2} \int d^d x [\mathcal{A}_\alpha \tilde{\mathcal{A}}_\alpha^* + \mathcal{A}_\alpha^* \tilde{\mathcal{A}}_\alpha] \geq |\mathcal{Q}|. \end{aligned} \quad (2.13)$$

A seguir, serão examinadas algumas teorias em que são aplicadas as ideias discutidas nessa seção.

3 KINKS COM VÁRIOS CAMPOS EM (1+1) DIMENSÕES

Setores auto-duais para teorias em $(1+1)$ dimensões, contendo somente um campo escalar, como modelos de *sine-Gordon* e $\lambda\phi^4$, são conhecidos há bastante tempo. A aplicação das ideias discutidas nas seções anteriores levou a construção de setores auto-duais em teorias em $(1+1)$ dimensões com qualquer número de campos escalares (2). Nesta seção serão considerados campos escalares reais. A carga topológica nesse caso é

$$\mathcal{Q} = \int_{-\infty}^{\infty} dx \frac{dU}{dx} = \int_{-\infty}^{\infty} dx \frac{\delta U}{\delta \varphi_a} \frac{d\varphi_a}{dx} = U(\varphi_a(x = \infty)) - U(\varphi_a(x = -\infty)) , \quad (3.1)$$

em que U é um funcional real arbitrário dos campos φ_a , $a = 1, 2, \dots, r$, mas não de suas derivadas.¹ A equação acima está na mesma forma de (2.1), assim é possível realizar as identificações

$$\mathcal{A}_\alpha \equiv k_{\alpha\beta} \frac{d\varphi_\beta}{dx} ; \quad \tilde{\mathcal{A}}_\alpha \equiv \frac{\delta U}{\delta \varphi_\beta} k_{\beta\alpha}^{-1} , \quad (3.2)$$

onde os funcionais \mathcal{A}_α , $\tilde{\mathcal{A}}_\alpha$ e k são reais, e a matriz k também é inversível e arbitrária. De acordo com (2.10), as equações auto-duais são

$$\eta_{ab} \frac{d\varphi_b}{dx} = \pm \frac{\delta U}{\delta \varphi_a} ; \quad \eta = k^T k . \quad (3.3)$$

Então, η é uma matriz simétrica e inversível. Seguindo (2.12), a energia estática da nossa teoria se torna

$$E = \int_{-\infty}^{\infty} dx \left[\frac{1}{2} \eta_{ab} \frac{d\varphi_a}{dx} \frac{d\varphi_b}{dx} + V \right] , \quad (3.4)$$

onde a forma do potencial é

$$V = \frac{1}{2} \eta_{ab}^{-1} \frac{\delta U}{\delta \varphi_a} \frac{\delta U}{\delta \varphi_b} . \quad (3.5)$$

Portanto, dos argumentos da seção anterior, segue que as soluções de (3.3) são também soluções das equações de Euler-lagrange do funcional (3.4), onde a quantidade U desempenha o papel de um pré-potencial. Note que, dado a escolha de um pré-potencial U , é possível determinar o potencial V e também uma teoria de campos escalares com um setor auto-dual. Entretanto, dado um potencial, não é trivial encontrar o pré-potencial U ; tendo isso em vista, será discutida a construção de teorias auto-duais por meio da escolha do pré-potencial. Nesse sentido, a análise será restringida para casos em que os campos escalares φ_a , o pré-potencial U e a matriz η sejam reais. Além disso, é imposto que o funcional E (3.4) seja positivo definido, dessa forma os autovalores de η também devem ser positivos.

¹ Isso será importante para que a carga topológica não seja função de derivadas de mais do que primeira ordem dos campos.

Para que as soluções auto-duais de (3.3) tenham energia finita, é necessário que a densidade de energia em (3.4) desapareça para infinitos espaciais quando evaluado nessas soluções, logo é necessário que

$$\frac{d\varphi_a}{dx} \rightarrow 0 ; \quad \frac{\delta U}{\delta \varphi_a} \rightarrow 0 ; \quad \text{com} \quad x \rightarrow \pm\infty. \quad (3.6)$$

Portanto, as equações de auto-dualidade (3.3) devem possuir soluções constantes de vácuo $\varphi_a^{(vac)}$ que sejam zeros para todas derivadas do pré-potencial, ou seja,

$$\left. \frac{\delta U}{\delta \varphi_c} \right|_{\varphi_a = \varphi_a^{(vac)}} = 0. \quad (3.7)$$

De (3.5), essas soluções de vácuo também são zeros do potencial V e de suas primeiras primeiras derivadas, ou seja,

$$V\left(\varphi_a^{(vac)}\right) = 0 ; \quad \left. \frac{\delta V}{\delta \varphi_c} \right|_{\varphi_a = \varphi_a^{(vac)}} = 0. \quad (3.8)$$

Ademais, é desejável que as teorias contruídas tenham diversas soluções tipo sóliton, e que tenham um sistema de vácuos tão degenerados quanto possível para manter as estruturas topológicas não triviais de \mathcal{Q} . Existem diversas formas de obter esse sistema de vácuos; nesse trabalho, será adotado o mesmo procedimento que em (2), baseado na teoria de grupos. Não será discutido o procedimento de criação dos pré-potenciais; para detalhes, consultar (2).

3.1 Interpretação mecânica de soluções auto-duais.

Tendo como base os desenvolvimentos em (3.6) e (3.7), soluções da equação de auto-dualidade (3.3) com energia finita devem tender a soluções constantes de vácuo quando $x \rightarrow \pm\infty$. Assim, cada uma dessas soluções conecta dois vácuos da teoria. Para desenvolver uma visualização geométrica dessas soluções, serão reescritas as equações de auto-dualidade da seguinte forma:

$$\vec{v} = \pm \vec{\nabla}_\eta U ; \quad \text{com} \quad (\vec{v})_a = \frac{d\varphi_a}{dx} ; \quad \left(\vec{\nabla}_\eta U \right)_a = \eta_{ab}^{-1} \frac{\delta U}{\delta \varphi_b}. \quad (3.9)$$

Dado o potencial U e a métrica η , que é real, constante e positiva, $\vec{\nabla}_\eta U$ define curvas no espaço dos campos $(\varphi_1, \varphi_2, \dots, \varphi_r)$,² fazendo o papel de vetor tangente a essas curvas. Essas curvas não se intersectam; para manter $\vec{\nabla}_\eta U$ bem definido em qualquer ponto do espaço dos campos, no máximo elas podem se tocar tangencialmente ou se encontrar

² O índice utilizado (r) a princípio não possui qualquer significado, mas o uso se deu devido ao conceito de *rank* de uma álgebra de Lie. No caso das construções utilizando teoria de grupos: $r = \text{rank}(\mathcal{G})$.

em pontos em que $\vec{\nabla}_\eta U$ zera. A equação de auto-dualidade (3.3) é uma equação diferencial de primeira ordem, logo uma solução é determinada pelo valor dos campos φ_a em um ponto $x = x_0$.

A visão geométrica é a de uma partícula viajando no espaço dos φ_a com *x-velocidade* \vec{v} e com a coordenada espacial x desempenhando o papel do tempo. Portanto, o problema de resolver a equação de auto-dualidade se reduz ao de construir curvas no espaço dos campos determinadas por $\vec{\nabla}_\eta U$. As soluções de energia finita corresponderão às curvas que começam e terminam nos extremos do pré-potencial U , ou seja, nos pontos em que $\vec{\nabla}_\eta U = 0$.

Considere agora uma curva γ no espaço dos campos, parametrizada por x , ou seja, $\varphi_a(x)$, que seja solução das equações de auto-dualidade (3.3). Associada a essa curva é definida a quantidade

$$\tilde{Q}(\gamma) = \int_\gamma dx \vec{v} \cdot \vec{\nabla} U = \int_\gamma dx \frac{d\varphi_a}{dx} \frac{\delta U}{\delta \varphi_a} = U(x_f) - U(x_i), \quad (3.10)$$

em que x_f e x_i são os pontos final e inicial, respectivamente, da curva γ . Perceba que o vetor tangente à curva é $\vec{\nabla}_\eta U$ e não $\vec{\nabla} U$, uma vez que a curva é solução das equações (3.3). Utilizando as equações de auto-dualidade é possível reescrever a equação (3.10) da seguinte forma:

$$\tilde{Q}(\gamma) = \pm \int_\gamma dx \eta_{ab} \frac{d\varphi_a}{dx} \frac{d\varphi_b}{dx} = \pm \int_\gamma dx \omega_a \left(\frac{d\tilde{\varphi}_a}{dx} \right)^2, \quad (3.11)$$

em que a matriz η foi diagonalizada, ou seja,

$$\eta = \Lambda^T \eta^D \Lambda; \quad \Lambda^T \Lambda = \mathbb{1}; \quad \eta_{ab}^D = \omega_a \delta_{ab}; \quad \omega_a > 0, \quad (3.12)$$

onde foi assumido que todos autovalores de η são positivos, e foi definido $\tilde{\varphi}_a = \Lambda_{ab} \varphi_b$. Mantendo η como positiva definida, a quantidade $\tilde{Q}(\gamma)$ só pode assumir o valor zero se os campos forem constantes por toda curva, ou seja, a curva teria que se reduzir a um ponto. Logo, as soluções das equações de auto-dualidade (3.3) não podem começar e acabar em pontos no espaço dos campos em que o pré-potencial U possui o mesmo valor. Além disso, conforme alguém *anda* pela curva a diferença do valor do pré-potencial de um particular ponto e do ponto inicial sempre aumenta em módulo. Portanto, a curva, que é solução das equações (3.3), sempre *escala* o pré-potencial U , para cima ou para baixo dependendo do sinal tomado na equação (3.3), sem nunca retornar a uma altitude já atingida.

3.2 Exemplo – $SU(3)$

Nesta seção será apresentado um exemplo concreto dos conceitos discutidos nas seções (2) e (3). No exemplo que segue, a matriz η será constante³, real e positiva definida. Mesmo com essas restrições ainda é possível construir teorias interessantes.

³ Isto é, não irá depender dos campos φ_a da teoria ou de outros campos externos.

O *rank* de $SU(3)$ é dois, portanto a teoria possuirá dois campos φ_1 e φ_2 . A matriz η é escolhida tal que⁴

$$\eta = \begin{pmatrix} 2 & -\lambda \\ -\lambda & 2 \end{pmatrix}; \quad \eta^{-1} = \frac{1}{4 - \lambda^2} \begin{pmatrix} 2 & \lambda \\ \lambda & 2 \end{pmatrix}, \quad (3.13)$$

onde foi introduzido o parâmetro real λ . Os autovalores de η são $2 \pm \lambda$, portanto λ deve se manter no intervalo $2 < \lambda < -2$, para manter η positiva definida e inversível. Por meio de um procedimento utilizando teoria de grupos⁵, é obtido o pré-potencial

$$U = \gamma_1 \cos(\varphi_1) + \gamma_2 \cos(\varphi_2) + \gamma_3 \cos(\varphi_1 - \varphi_2), \quad (3.14)$$

em que γ_1 , γ_2 e γ_3 são constantes arbitrárias.

A energia estática (3.4) se torna

$$E = \int_{-\infty}^{\infty} dx \left[(\partial_x \varphi_1)^2 + (\partial_x \varphi_2)^2 - \lambda \partial_x \varphi_1 \partial_x \varphi_2 + V(\varphi_1, \varphi_2) \right], \quad (3.15)$$

onde o potencial (3.5) é dado por

$$V = \frac{1}{\lambda^2 - 4} [-\gamma_1^2 \sin^2(\varphi_1) + \gamma_1 \sin(\varphi_1) (\gamma_3(\lambda - 2) \sin(\varphi_1 - \varphi_2) - \gamma_2 \lambda \sin(\varphi_2)) \\ - \gamma_2^2 \sin^2(\varphi_2) - \gamma_2 \gamma_3 (\lambda - 2) \sin(\varphi_2) \sin(\varphi_1 - \varphi_2) + \gamma_3^2 (\lambda - 2) \sin^2(\varphi_1 - \varphi_2)]. \quad (3.16)$$

As equações de auto-dualidade (3.3) são da forma

$$\partial_x \varphi_1 = \pm \frac{[2\gamma_1 \sin(\varphi_1) + \lambda \gamma_2 \sin(\varphi_2) - \gamma_3(\lambda - 2) \sin(\varphi_1 - \varphi_2)]}{\lambda^2 - 4}, \\ \partial_x \varphi_2 = \pm \frac{[2\gamma_2 \sin(\varphi_2) + \lambda \gamma_1 \sin(\varphi_1) + \gamma_3(\lambda - 2) \sin(\varphi_1 - \varphi_2)]}{\lambda^2 - 4}. \quad (3.17)$$

Os vácuos são determinados pelas condições (3.7), que implicam

$$\gamma_1 \sin(\varphi_1^{(vac)}) = -\gamma_3 \sin(\varphi_1^{(vac)} - \varphi_2^{(vac)}) = -\gamma_2 \sin(\varphi_2^{(vac)}). \quad (3.18)$$

Certamente, a equação acima é satisfeita se

$$\varphi_a^{(vac)} = n_a \pi, \quad n_a \in \mathbb{Z}, \quad a = 1, 2, \quad (3.19)$$

para qualquer valor para os coeficientes γ . Entretanto, existem outros tipos de vácuo que dependem do valor escolhido para cada γ , como

$$(\varphi_1^{(vac)}, \varphi_2^{(vac)}) = \left(\frac{2\pi}{3} + 2\pi n_1, \frac{4\pi}{3} + 2\pi n_2 \right); \quad \gamma_1 = \gamma_2 = \gamma_3 = 1, \\ (\varphi_1^{(vac)}, \varphi_2^{(vac)}) = \left(\frac{4\pi}{3} + 2\pi n_1, \frac{2\pi}{3} + 2\pi n_2 \right); \quad n_1, n_2 \in \mathbb{Z}. \quad (3.20)$$

⁴ Note que $\eta|_{\lambda=1} = K$, com K sendo a matriz de Cartan de $SU(3)$. (3)

⁵ A construção se baseia nos pesos das representações da álgebra. Para mais detalhes consultar (2).

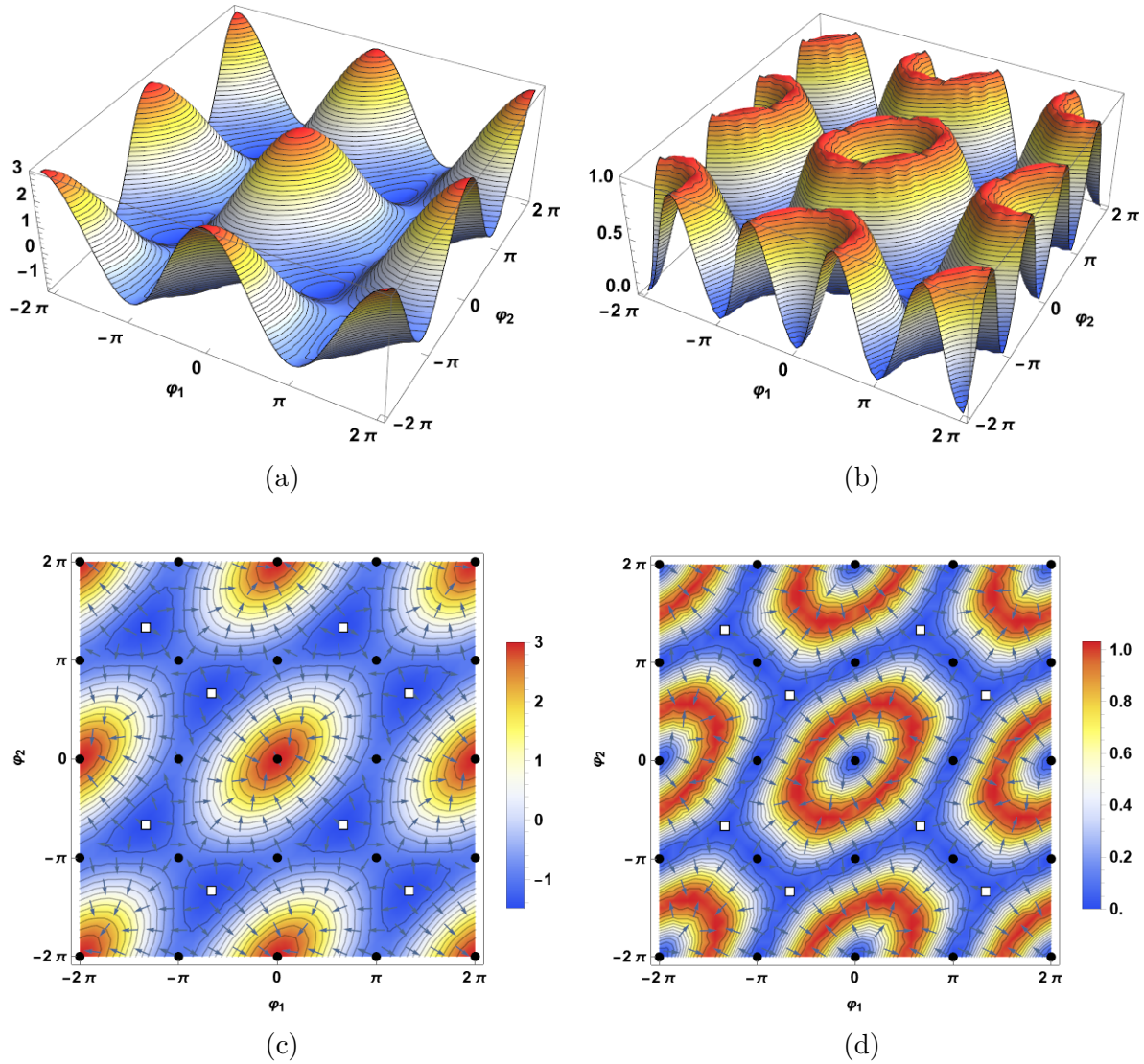


Figura 1 – (a) e (c) são representações do pré-potencial (3.14), e (b) e (c) do potencial (3.16). Os vácuos do tipo (3.19) são os pontos pretos, enquanto os do tipo (3.20) são denotados por quadrados em branco. As linhas representam o fluxo de $\vec{\nabla}U$ e $\vec{\nabla}V$, em que $\vec{\nabla} = (\partial_{\varphi_1}, \partial_{\varphi_2})$. Nos gráficos, foi utilizado $\lambda = 1$ e $\gamma_1 = \gamma_2 = \gamma_3 = 1$.

Fonte: Elaborado pelo autor.

4 LUMPS EM (2+1) DIMENSÕES

Como um exemplo de uma teoria com um setor auto-dual, será considerado o modelo \mathbb{CP}^{N-1} em (2+1) dimensões. \mathbb{CP}^{N-1} é o espaço projetivo complexo de $(N-1)$ dimensões, ou seja, o espaço de todas as classes equivalentes de vetores complexos $z = (z_1, z_2, \dots, z_N)$, tal que dois vetores z e z' são equivalentes se $z' = \lambda z$, sendo λ um número complexo (4,5). Serão considerados os representantes dessas classes como os vetores unitários

$$z = (z_1, z_2, \dots, z_N); \quad z_a^* z_a = 1. \quad (4.1)$$

\mathbb{CP}^{N-1} é isomórfico a $SU(N)/SU(N-1) \otimes U(1)$. De fato, o grupo $SU(N)$ age transitivamente nos vetores z por meio da sua representação definidora N – dimensional. Como essa representação é unitária, sua ação preserva o módulo dos vetores z , e um dado vetor é mantido invariante por matrizes $(N-1) \times (N-1)$ unitárias, ou seja, o subgrupo $U(N-1) = SU(N-1) \otimes U(1)$.

O segundo grupo de homotopia de \mathbb{CP}^{N-1} é isomórfico aos inteiros sobre adição, ou seja, $\pi_2(SU(N)/SU(N-1) \otimes U(1)) = \mathbb{Z}$. A carga topológica associada possui uma representação integral da forma

$$\mathcal{Q} = \frac{1}{2\pi} \int d^2x \, \varepsilon_{\mu\nu} \partial_\mu A_\nu, \quad (4.2)$$

onde

$$A_\mu = \frac{i}{2} (z^\dagger \partial_\mu z - \partial_\mu z^\dagger z). \quad (4.3)$$

A integração em (4.2) é no plano bidimensional (x_1, x_2) , que, identificando o infinito espacial, é isomórfico à S^2 .¹ Sobre a transformação local $z \rightarrow e^{i\alpha} z$, será obtido $A_\mu \rightarrow A_\mu - \partial_\mu \alpha$. Definindo a derivada covariante $D_\mu \equiv \partial_\mu + iA_\mu$, (4.2) pode ser reescrita como

$$\mathcal{Q} = \frac{i}{2\pi} \int d^2x \, \varepsilon_{\mu\nu} (D_\mu z)^\dagger (D_\nu z) = \frac{1}{4\pi} \int d^2x \left[(D_\mu z)^\dagger i \varepsilon_{\mu\nu} D_\nu z + (i \varepsilon_{\mu\nu} D_\nu z)^\dagger D_\mu z \right]. \quad (4.4)$$

Seguindo (2.9), são definidas as quantidades:

$$\mathcal{A}_\mu^a = (D_\mu z)_b k_{ba}; \quad \tilde{\mathcal{A}}_\mu^a = (k_{ab}^{-1})^* i \varepsilon_{\mu\nu} (D_\nu z)_b, \quad (4.5)$$

logo a carga (4.4) pode ser escrita na forma (2.1). De (2.10), as equações de auto-dualidade são

$$(D_\mu z)_b h_{ba} = \pm i \varepsilon_{\mu\nu} (D_\nu z)_a. \quad (4.6)$$

De acordo com (2.12), o funcional da energia se torna

$$E = \frac{1}{2} \int d^2x \left[(D_\mu z)_a^* h_{ab} (D_\mu z)_b + (D_\mu z)_a^* h_{ab}^{-1} (D_\mu z)_b \right]. \quad (4.7)$$

¹ Superfície da esfera tridimensional.

Contraindo os dois lados de (4.6) com $\varepsilon_{\rho\mu}$, obtém-se

$$(D_\mu z)_a = \pm i \varepsilon_{\mu\nu} (D_\nu z)_b h_{ba} . \quad (4.8)$$

Portanto, (4.6) e (4.8) implicam

$$(D_\mu z)_b (h_{ba} - h_{ba}^{-1}) = 0 \quad \rightarrow \quad h^2 = \mathbb{1} , \quad (4.9)$$

mas uma matriz hermitiana pode ser diagonalizada por uma transformação unitária, $h = U h_D U^\dagger$, com h_D diagonal. Logo

$$h^2 = \mathbb{1} \quad \rightarrow \quad h_D^2 = \mathbb{1} , \quad (4.10)$$

assim $\lambda_a^2 = 1$. Porém, para a energia E (4.7) ser positiva definida, é necessário que todos os autovalores de h tenham o mesmo sinal. Então

$$h = \mathbb{1} . \quad (4.11)$$

Nesse caso, (4.6) reduz-se às equações de auto-dualidade para o modelo \mathbb{CP}^{N-1} usual (4.5),

$$(D_\mu z)_a = \pm i \varepsilon_{\mu\nu} (D_\nu z)_a , \quad (4.12)$$

e (4.7) à energia usual do modelo \mathbb{CP}^{N-1} ,

$$E = \int d^2x (D_\mu z)^\dagger D_\mu z . \quad (4.13)$$

Para construir soluções auto-duais da equação (4.12), é conveniente introduzir novos campos complexos u_a como

$$(u_1^{(j)}, u_2^{(j)}, \dots, u_{N-1}^{(j)}, u_N^{(j)}) = \frac{1}{z_j} (z_1, z_2, \dots, z_{N-1}, z_N) , \quad (4.14)$$

em que $u_j^{(j)} = 1$, ou seja, as coordenadas são $u_\alpha^{(j)}$, $\alpha \neq j$. Pode ser escolhida qualquer componente z_a para construir o campo u_a ; nesse caso, será escolhida a componente z_N , logo u_α , $\alpha = 1, \dots, N-1$ são as coordenadas. Podemos reescrever a equação (4.12) em termo das novas coordenadas da seguinte forma: (4)

$$\partial_\mu u_\alpha = \pm i \varepsilon_{\mu\nu} \partial_\nu u_\alpha ; \quad \alpha = 1, 2, \dots, N-1 . \quad (4.15)$$

Essas são as equações de Cauchy-Riemann para os campos u . De fato, o sinal (+) implica que u é holomórfico, ou seja, $u_\alpha = u_\alpha(\omega)$, e o sinal (-) que u é anti-holomórfico, ou seja, $u_\beta = u_\beta(\omega^*)$, em que $\omega = x_1 + ix_2$.

5 (3 + 1) DIMENSÕES E INSTANTONS EM (4 + 0) DIMENSÕES

5.1 Monopolos

Será considerado o caso da carga magnética topológica definida pela integral no espaço de três dimensões \mathbb{R}^3

$$\mathcal{Q}_M = -\frac{1}{2} \int_{\mathbb{R}^3} d^3x \varepsilon_{ijk} \text{Tr}(F_{ij}D_k\Phi) = \int_{\mathbb{R}^3} d^3x \text{Tr}(B_iD_i) , \quad (5.1)$$

onde $B_i = -\frac{1}{2} \varepsilon_{ijk} F_{jk}$ é o campo magnético não abeliano, $F_{ij} = \partial_i A_j - \partial_j A_i - ie[A_i, A_j] = F_{ij}^a T_a$ o tensor dos campos, $A_i = A_i^a T_a$ o campo de *gauge*, e $\Phi = \Phi^a T_a$ o campo de *Higgs* na representação adjunta de um grupo de Lie simples e compacto, com geradores T_a , $a = 1, 2, \dots, \dim G$. Além disso, $D_i(*) = \partial_i(*) + ie[A_i, (*)]$ é a derivada covariante na representação adjunta de G .

Nesse caso todos os campos são reais. Logo, seguindo (2.10) e os resultados em (6), são introduzidas as quantidades reais

$$\mathcal{A}_\alpha \equiv B_i^b k_{ba} ; \quad \tilde{\mathcal{A}}_\alpha \equiv k_{ab}^{-1} (D_i\Phi)^b , \quad (5.2)$$

então (5.1) pode ser escrita como (2.1). As equações de auto-dualidade (2.10) se tornam

$$\frac{1}{2} \varepsilon_{ijk} F_{jk}^b h_{ba} = \pm (D_i\Phi)^a ; \quad h = k k^T , \quad (5.3)$$

com h_{ab} , $a, b = 1, 2, \dots, \dim G$, uma matriz simétrica e inversível de campos escalares. As equações (5.3) constituem uma generalização das equações *BPS* (*Bogomolny-Prasad-Sommerfield*) (7,8) para monopolos auto-duais. O funcional de energia (2.12) se torna (6)

$$E_{YMH} = \int d^3x \left[\frac{1}{4} h_{ab} F_{ij}^a F_{ij}^b + \frac{1}{2} h_{ab}^{-1} (D_i\Phi)^a (D_i\Phi)^b \right] , \quad (5.4)$$

portanto essa é uma teoria com campos de *gauge* A_μ , campo de *Higgs* Φ na representação adjunta do grupo de *gauge*, e campos escalares reais na matriz h . A energia (5.4) avaliada nas soluções auto-duais de (5.3) é igual à carga magnética topológica

$$E_{YMH} = \mathcal{Q}_M . \quad (5.5)$$

Para mais detalhes na construção de soluções auto-duais dessa teoria, consultar (6).

5.2 Skyrmions

Skyrmions são sólitos topológicos soluções de teorias em (3 + 1) dimensões com o grupo $SU(2)$ como espaço-alvo. Os três campos em $SU(2)$ são interpretados como os três

píons π^+ , π^0 e π^- . Essas soluções são interpretadas seguindo a proposta de Skyrme (9,10), em que a carga topológica desempenha o papel de número bariônico (11,12).

A carga topológica relevante nesse caso é dada pela integral sobre o espaço tridimensional \mathbb{R}^3

$$\mathcal{Q}_B = \frac{i}{48\pi^2} \int d^3x K(U) \varepsilon_{ijk} \text{Tr}(R_i R_j R_k) , \quad (5.6)$$

com $R_i = i\partial_i U U^\dagger = R_i^a T_a$, $U \in SU(2)$, e $K(U)$ é um funcional real arbitrário dos campos quirais U , mas não de suas derivadas. K pode ser interpretado como uma deformação na métrica do espaço-alvo $SU(2)$. A notação utilizada é tal que $\text{Tr}(T_a T_b) = \delta_{ab}$, com T_a , $a = 1, 2, 3$ sendo os geradores da álgebra de Lie de $SU(2)$.

Seguindo (2.1), serão definidas as quantidades reais

$$\mathcal{A}_\alpha \equiv \frac{\lambda}{24} \varepsilon_{ijk} \text{Tr}(R_i R_j R_k) ; \quad \tilde{\mathcal{A}}_\alpha \equiv K = \mu \sqrt{V} , \quad (5.7)$$

em que λ e μ são constantes de acoplamento, e V desempenha o papel de um potencial. As equações de auto-dualidade (2.3) se tornam

$$\frac{\lambda}{24} \varepsilon_{ijk} \text{Tr}(R_i R_j R_k) = \pm \mu \sqrt{V} . \quad (5.8)$$

Assim, o funcional de energia se torna

$$E = \int d^3x \left[\frac{\lambda^2}{(24)^2} B_0 B_0 + \mu^2 V \right] , \quad (5.9)$$

com $B_0 = \varepsilon_{ijk} \text{Tr}(R_i R_j R_k)$. Esse modelo foi proposto em (13) e foi aplicado em muitos contextos em física de estrelas de neutrões e nuclear (14). As soluções de (5.13) foram construídas utilizando um *ansatz* esfericamente simétrico, para o potencial $V = \text{Tr}(1 - U)/2$, as soluções são de tal forma que os campos vão a zero para um valor finito de distância radial.

5.3 Um modelo mais geral do *Skyrme* auto-dual

Usando o fato de que as quantidades $R_i = i\partial_i U U^\dagger$ satisfazem a equação de Maurer-Cartan

$$\partial_\mu R_\nu - \partial_\nu R_\mu + i[R_\mu, R_\nu] = 0 , \quad (5.10)$$

podemos escrever a carga topológica (5.6), para $K = 1$, como

$$\begin{aligned} \mathcal{Q}_B &= \frac{i}{96\pi^2} \int d^3x \varepsilon_{ijk} \text{Tr}(R_i [R_j, R_k]) = -\frac{1}{96\pi^2} \int d^3x \varepsilon_{ijk} \text{Tr}(R_i (\partial_j R_k - \partial_k R_j)) \\ &= -\frac{1}{48\pi^2} \int d^3x \varepsilon_{ijk} R_i^a \partial_j R_k^a \equiv -\frac{1}{48\pi^2} \frac{e_0}{m_0} \int d^3x \mathcal{A}_i^a \tilde{\mathcal{A}}_i^a , \end{aligned} \quad (5.11)$$

em que foram introduzidas as quantidades reais

$$\mathcal{A}_i^a \equiv m_0 R_i^b k_{ba} ; \quad \tilde{\mathcal{A}}_i^a \equiv \frac{1}{e_0} k_{ab}^{-1} \varepsilon_{ijk} \partial_j R_k^b , \quad (5.12)$$

sendo k_{ab} uma matriz inversível, m_0 e e_0 constantes de acoplamento. Logo, a carga topológica (5.6), para $K = 1$, pode ser escrita da mesma forma que (2.1). Com isso, as equações de auto-dualidade (2.3) se tornam

$$\lambda h_{ab} R_i^b = \frac{1}{2} \varepsilon_{ijk} H_{jk}^a \quad \text{com} \quad \lambda = \pm m_0 e_0 , \quad (5.13)$$

onde $h = kk^T$ é uma matriz real, simétrica e inversível, e definimos $H_{ij}^a = \partial_i R_j^a - \partial_j R_i^a = \varepsilon_{abc} R_\mu^b R_\nu^c$. Dessa forma, o funcional de energia (2.12) se torna

$$E = \int d^3x \left[\frac{m_0^2}{2} h_{ab} R_i^a R_i^b + \frac{1}{4e_0^2} h_{ab}^{-1} H_{ij}^a H_{ij}^b \right] . \quad (5.14)$$

A energia das soluções auto-duais de (5.13) é dada por

$$E = 48\pi^2 \frac{m_0}{e_0} |\mathcal{Q}| . \quad (5.15)$$

Essa teoria foi proposta em (15) e explorada mais a fundo em (16), em que as entradas da matriz h_{ab} são consideradas como seis campos reais adicionados à teoria. Note que, para $h = \mathbb{1}$ o modelo se reduz para o modelo original de *Skyrme*. A carga topológica (5.11) é interpretada, seguindo *Skyrme*, como o número bariônico. Mais recentemente, tal modelo foi extendido considerando uma potência fracional da densidade de carga topológica como um parâmetro de ordem para descrever um fluido de matéria bariônica. O modelo descreve com boa precisão a energia de ligação de mais de 240 núcleos, e também a relação entre seus raios e número bariônico.

5.4 Instantons

Como um último exemplo de aplicação dos métodos descritos no capítulo 2, será apresentado o caso de soluções de instantons para a teoria de Yang-Mills em quatro dimensões Euclidianas. A carga topológica relevante para esse caso é o número de Pontryagin

$$\mathcal{Q}_{YM} = \int d^4x \text{Tr} (F_{\mu\nu} \tilde{F}^{\mu\nu}) , \quad (5.16)$$

sendo $F_{\mu\nu}$ o tensor dos campos e $\tilde{F}_{\mu\nu}$ seu dual de Hodge, ou seja,

$$F_{\mu\nu} = \partial_\mu A_\nu - \partial_\nu A_\mu + ie[A_\mu, A_\nu] ; \quad \tilde{F}_{\mu\nu} = \frac{1}{2} \varepsilon_{\mu\nu\rho\sigma} F^{\rho\sigma} , \quad (5.17)$$

sendo A_μ o potencial de gauge para um grupo compacto de Lie. Seguindo (2.1):

$$\mathcal{A}_\alpha \equiv F_{\mu\nu} ; \quad \tilde{\mathcal{A}}_\alpha \equiv \tilde{F}_{\mu\nu} . \quad (5.18)$$

Assim, as equações de auto-dualidade (2.3) se tornam

$$F_{\mu\nu} = \pm \tilde{F}_{\mu\nu} , \quad (5.19)$$

e o funcional (2.5) se torna a ação Euclidiana de Yang-Mills ¹

$$S_{YM} = \frac{1}{8} \int d^4x \left[\text{Tr}(F_{\mu\nu}F_{\mu\nu}) + \text{Tr}(\tilde{F}_{\mu\nu}\tilde{F}_{\mu\nu}) \right] = \frac{1}{4} \int d^4x \text{Tr}(F_{\mu\nu}F_{\mu\nu}) . \quad (5.20)$$

As soluções de (5.19) são bem conhecidas e são chamadas de soluções *instanton* da teoria de Yang-Mills. Essas soluções desempenham papéis importantes na estrutura dos vácuos e também fenômenos não perturbativos em teorias de Yang-Mills (11, 17).

Seguindo (2.9), é possível introduzir uma matriz inversível, simétrica e real h_{ab} nas equações de auto-dualidade (5.19)

$$F_{\mu\nu}^b h_{ba} = \pm \tilde{F}_{\mu\nu}^a ; \quad F_{\mu\nu} = F_{\mu\nu}^a T_a , \quad \tilde{F}_{\mu\nu} = \tilde{F}_{\mu\nu}^a T_a , \quad (5.21)$$

com T_a , $a = 1, 2, \dots, \dim G$, sendo T_a uma base para a álgebra de Lie para o grupo de *gauge* G . Além disso, seguindo o mesmo procedimento que de (4.9 - 4.11) chegamos à conclusão de que $h = \mathbb{1}$.

¹ Aqui foi utilizado o fato de que $\text{Tr}(F_{\mu\nu}F_{\mu\nu}) = \text{Tr}(\tilde{F}_{\mu\nu}\tilde{F}_{\mu\nu})$.

6 CONCLUSÃO

O objetivo desse trabalho foi revisar estruturas fundamentais do conceito de auto-dualidade, e mostrar algumas de suas principais aplicações em fenômenos não lineares em grande parte da física.

Primeiramente, foram descritas as principais estruturas envolvidas na aplicação do conceito de auto-dualidade generalizada, em que foram definidas a carga topológica (\mathcal{Q}) e as equações de auto-dualidade (2.3). Observou-se que, com a combinação das identidades, vindas da invariância homotópica da carga topológica, com as equações de auto-dualidade, foram obtidas as equações de Euler-Lagrange do funcional de energia (2.5). Além disso, foi possível demonstrar que as soluções auto-duais são aquelas que saturam o limite inferior de energia encontrado para as soluções gerais do funcional. Posteriormente, os conceitos discutidos foram generalizados com a matriz η , que pode introduzir novos campos na teoria; com essa modificação, foram obtidas as novas equações de auto-dualidade (2.10) e o novo funcional de energia (2.12).

Em seguida, foram desenvolvidos exemplos conhecidos de aplicações do conceito de auto-dualidade, esses sendo *Kinks* em $(1+1)$ dimensões, *Lumps* em $(2+1)$ dimensões, um modelo básico de *Skyrmions* e monopolos em $(3+1)$ dimensões e por último a teoria de *Instantons* em quatro dimensões euclidianas. Destacou-se o desenvolvimento de um paralelo geométrico para a teoria de *Kinks*, onde se provou que essas curvas no espaço dos campos devem escalar para cima ou para baixo o pré-potencial e que as soluções com energia finita são as curvas que começam e terminam em seus vácuos. Além disso, desenvolveu-se um exemplo concreto, em $(1+1)$ dimensões, da criação de uma teoria a partir do pré-potencial, usando um método baseado em teoria de grupos, especificamente a estrutura de pesos da álgebra de $SU(3)$.

No geral, o presente trabalho expôs as principais estruturas do conceito de auto-dualidade e algumas de suas aplicações de maior impacto na física contemporânea. Ainda assim, como dito em (2), há muito a ser explorado no conceito de auto-dualidade e novos desenvolvimentos impactantes são esperados no futuro.

REFERÊNCIAS

- 1 ADAM, C. *et al.* Some aspects of self-duality and generalised BPS theories. **Journal of High Energy Physics**, v. 2013, n. 8, p. 1–26, 2013.
- 2 FERREIRA, L. A.; KLIMAS, P.; ZAKRZEWSKI, W. J. Self-dual sectors for scalar field theories in (1+1) dimensions. **Journal of High Energy Physics**, v. 2019, n. 1, p. 1–38, 2019.
- 3 FERREIRA, L. A. Lecture notes on Lie algebras and Lie groups. **São Paulo, Instituto de Física Teórica-IFT/Universidade Estadual Paulista-UNESP**, 2000.
- 4 D'ADDA, A.; LÜSCHER, M.; VECCHIA, P. D. A 1n expandable series of non-linear σ models with instantons. **Nuclear Physics B**, v. 146, n. 1, p. 63–76, 1978.
- 5 ZAKRZEWSKI, W. J. Low-dimensional sigma models. **New York: CRC Press**, 1989.
- 6 FERREIRA, L. A.; MALAVAZZI, H. Generalized self-duality for the Yang-Mills-Higgs system. **Physical Review D**, v. 104, n. 10, p. 105016, 2021.
- 7 BOGOMOLNY, E. Stability of classical solutions. **Soviet Journal of Nuclear Physics**, v. 24, p. 449, 1976.
- 8 PRASAD, M.; SOMMERFIELD, C. M. Exact classical solution for the't Hooft monopole and the Julia-Zee dyon. **Physical Review Letters**, v. 35, n. 12, p. 760, 1975.
- 9 SKYRME, T. H. R. A non-linear field theory. **Proceedings of the Royal Society of London. Series A: Mathematical and Physical Sciences**, v. 260, n. 1300, p. 127–138, 1961.
- 10 SKYRME, T. H. R. A unified field theory of mesons and baryons. **Nuclear Physics**, v. 31, p. 556–569, 1962.
- 11 MANTON, N.; SUTCLIFFE, P. **Topological solitons**. Cambridge: Cambridge University Press, 2004.
- 12 SHNIR, Y. M. **Topological and non-topological solitons in scalar field theories**. Cambridge: Cambridge University Press, 2018.
- 13 ADAM, C.; SANCHEZ-GUILLEN, J.; WERESZCZYŃSKI, A. A Skyrme-type proposal for baryonic matter. **Physics Letters B**, v. 691, n. 2, p. 105–110, 2010.
- 14 ADAM, C. *et al.* BPS Skyrmiions as neutron stars. **Physics Letters B**, v. 742, p. 136–142, 2015.
- 15 FERREIRA, L. A. Exact self-duality in a modified Skyrme model. **Journal of High Energy Physics**, v. 2017, n. 7, p. 1–13, 2017.
- 16 FERREIRA, L. A.; LIVRAMENTO, L. R. Self-duality in the context of the skyrme model. **Journal of High Energy Physics**, v. 2020, n. 9, p. 1–25, 2020.

- 17 BELAVIN, A. A. *et al.* Pseudoparticle solutions of the Yang-Mills equations. **Physics Letters B**, v. 59, n. 1, p. 85–87, 1975.